

# The SXRM Space Radiation Monitor

Matěj Vaculčiak

FJFI ČVUT v Praze

18.1.2019

- projekt zaměřený na studium radiačního prostředí okolí Země
- modelování a tvorba radiačně odolných detekčních systémů
- SpacePix - monolitický křemíkový pixelový detektor
- SXRM - návrh komplexního využití čipu SpacePix

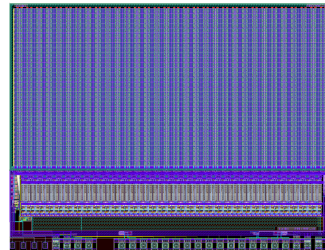
# Simulační nástroje

- Geant4
  - sada C++ knihoven pro simulaci průchodu záření materiálem
  - efektivní díky využití PhysicsListů
  - Monte Carlo rozhodování o aplikaci fyzikálních procesů
- AllpixSquared
  - nástavba na Geant4, specializace na pixelové detektory
  - rozšíření o modelování elektrických polí a časového vývoje náboje
- ROOT

- Geant4
  - sada C++ knihoven pro simulaci průchodu záření materiálem
  - efektivní díky využití PhysicsListů
  - Monte Carlo rozhodování o aplikaci fyzikálních procesů
- AllpixSquared
  - nástavba na Geant4, specializace na pixelové detektory
  - rozšíření o modelování elektrických polí a časového vývoje náboje
- ROOT

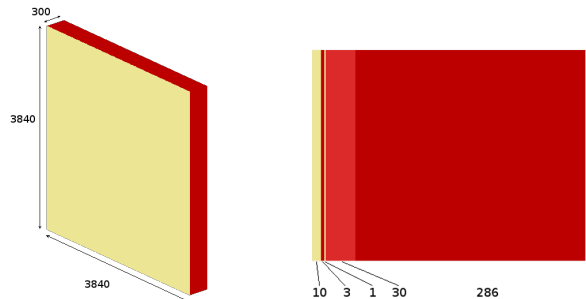
- Geant4
  - sada C++ knihoven pro simulaci průchodu záření materiálem
  - efektivní díky využití PhysicsListů
  - Monte Carlo rozhodování o aplikaci fyzikálních procesů
- AllpixSquared
  - nástavba na Geant4, specializace na pixelové detektory
  - rozšíření o modelování elektrických polí a časového vývoje náboje
- ROOT

- radiačně odolný křemíkový pixelový detektor
- tvorba modelu, simulace a analýza výsledků
- rozsah energetické depozice
- analýza propagace náboje v senzitivní oblasti



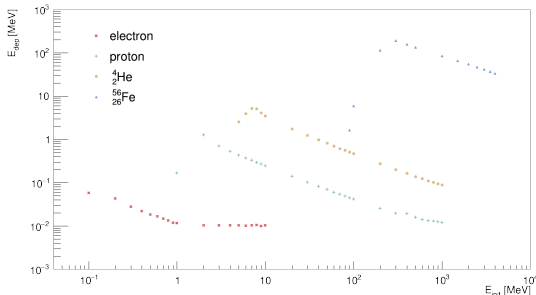
Obr.: SpacePix ASIC - prototyp.

- radiačně odolný křemíkový pixelový detektor
- tvorba modelu, simulace a analýza výsledků
- rozsah energetické depozice
- analýza propagace náboje v senzitivní oblasti



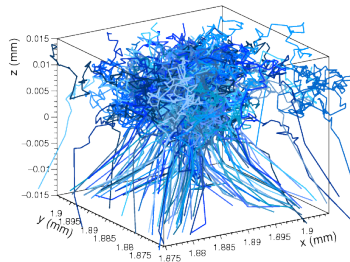
Obr.: SpacePix ASIC - Geant4 model.

- radiačně odolný křemíkový pixelový detektor
- tvorba modelu, simulace a analýza výsledků
- rozsah energetické depozice
- analýza propagace náboje v senzitivní oblasti



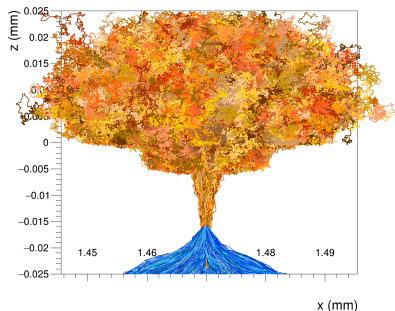
Obr.: Závislost deponované na počáteční energii.

- radiačně odolný křemíkový pixelový detektor
- tvorba modelu, simulace a analýza výsledků
- rozsah energetické depozice
- analýza propagace náboje v senzitivní oblasti



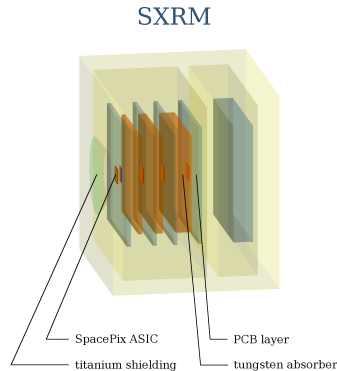
Obr.: Propagace elektronů.

- radiačně odolný křemíkový pixelový detektor
- tvorba modelu, simulace a analýza výsledků
- rozsah energetické depozice
- analýza propagace náboje v senzitivní oblasti



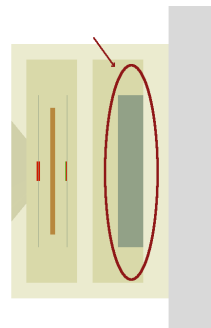
Obr.: Propagace elektronů a děr.

- SpacePix Radiation Monitor
- koncept detektoru s teleskopickým uspořádáním čipů SpacePix
- vzorkování deponované energie pomocí absorpcních vrstev



# SXRM geometrie

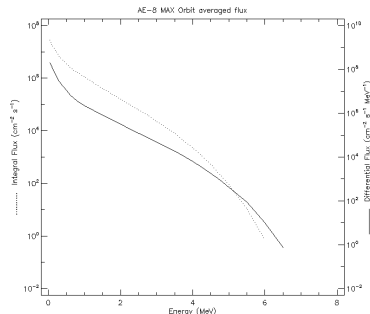
- simulace radiačního poškození elektroniky po desetiletou misi
- 20000 km orbita
- vnitřní Van Allenův pás



Obr.: Zkoumaná elektronika.

# SXRM geometrie

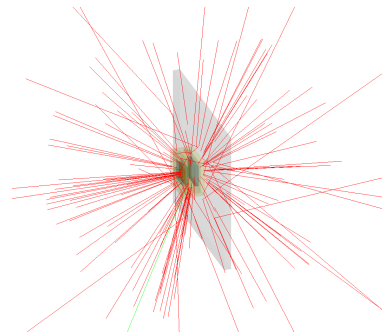
- simulace radiačního poškození elektroniky po desetiletou misi
- 20000 km orbita
- vnitřní Van Allenův pás



Obr.: Tok a energetické spektrum elektronů pro misi.

# SXRM geometrie

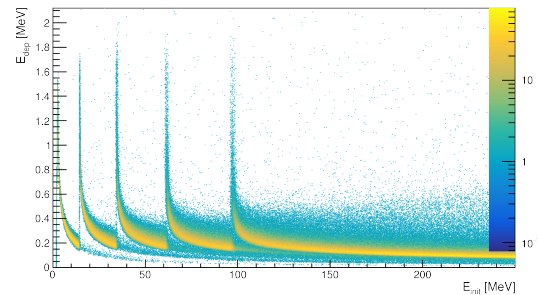
- simulace radiačního poškození elektroniky po desetiletou misi
- 20000 km orbita
- vnitřní Van Allenův pás



Obr.: Simulace izotropního toku částic.

# SXRM rekonstrukce dat

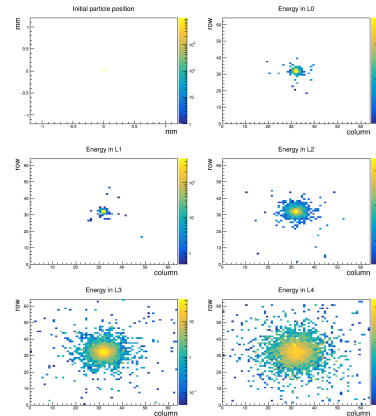
- vzorkování deponované energie pomocí absorpčních vrstev
- clustering algoritmus
- hledání optimální machine learning metody
  - boosted decision trees
  - multilayer perceptrons



Obr.: Energetická depozice protonů v závislosti na počáteční energii.

# SXRM rekonstrukce dat

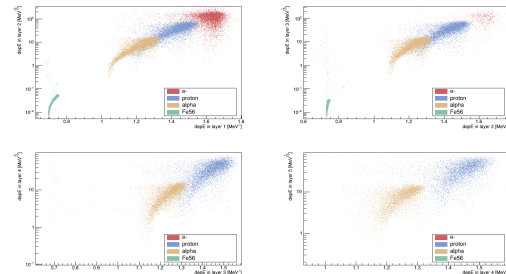
- vzorkování deponované energie pomocí absorpčních vrstev
- clustering algoritmus
- hledání optimální machine learning metody
  - boosted decision trees
  - multilayer perceptrons



Obr.: Pozice energetické depozice svazku  $\alpha$  částic.

# SXRM rekonstrukce dat

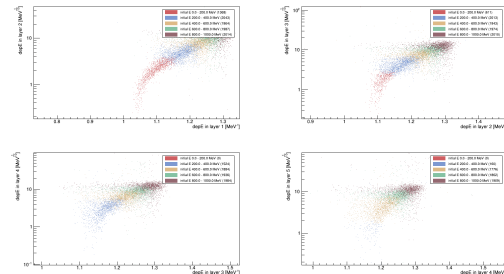
- vzorkování deponované energie pomocí absorpčních vrstev
- clustering algoritmus
- hledání optimální machine learning metody
  - boosted decision trees
  - multilayer perceptrons



Obr.: Závislost energie deponované v  $n$ -té na  $(n-1)$  vrstvě.

# SXRM rekonstrukce dat

- vzorkování deponované energie pomocí absorpčních vrstev
- clustering algoritmus
- hledání optimální machine learning metody
  - boosted decision trees
  - multilayer perceptrons



Obr.: Závislost energie deponované v n-té na (n-1) vrstvě.

Děkuji za pozornost

